

УДК 536.228 : 537.311.4

**ЯМР ^1H , ПРОТОННЫЙ ОБМЕН
И ПРОТОННАЯ ПРОВОДИМОСТЬ ГИДРАТАВ
ВОЛЬФРАМОФОСФАТА АММОНИЯ**

*В. Г. Штейнберг, Б. А. Шумм, Л. Н. Ерофеев, А. И. Коростелева,
Л. С. Леонова, Е. А. Укие*

Методом ЯМР исследован протонный обмен в гидратах вольфрамоfosфата аммония $(\text{NH}_4)_3\text{PW}_{12}\text{O}_{40} \cdot n\text{H}_2\text{O}$. Установлено, что при высоких степенях гидратации ($n \geq 7$) протоны, входящие в состав ионов аммония NH_4^+ и молекул воды, образуют единую систему, обеспечивающую высокую проводимость соответствующих гидратов. При уменьшении степени гидратации ($n=5$) протонная система разбивается на пространственно-изолированные части, что сопровождается уменьшением электропроводности.

Гидраты вольфрамоfosфата аммония $(\text{NH}_4)_3\text{PW}_{12}\text{O}_{40} \cdot n\text{H}_2\text{O}$ (АВФ) могут быть выделены среди других протонных проводников в силу высокой проводимости ($\sigma \sim 10^{-1} \Omega^{-1}\text{cm}^{-1}$ при 20°C), отсутствия зависимости σ от влажности окружающей среды в довольно широких пределах ее изменения, а также малой растворимости в воде [1]. Естественно предположить, что особенности поведения АВФ связаны с наличием в структуре двух протонных подсистем — гидратной и аммониевой, — между которыми возможен протонный обмен. Для проверки этой гипотезы может быть использован метод ЯМР, а именно метод «передачи поляризации» (ПП) Гольдмана—Шена [2]. Этот метод применим, если спиновые подсистемы имеют существенно различающиеся времена спада свободной индукции (ССИ). После возбуждения спиновой системы резонансным РЧ импульсом поляризация одной из подсистем быстро исчезает, а второй — сохраняется практически неизменной. Второй РЧ импульс переводит спиновую систему в исходное состояние, в котором нет ССИ, и она развивается свободно в течение некоторого времени τ . За это время вследствие спиновой диффузии происходит передача поляризации между подсистемами. Анализируя ССИ после третьего РЧ импульса, можно измерить степень передачи поляризации и определить характер обмена между спиновыми подсистемами, который может быть связан либо с обменом энергией между ядерными спинами за счет диполь-дипольного взаимодействия (ДДВ), либо с физической диффузией.

В настоящей работе для выяснения механизма протонного переноса исследованы спектры ЯМР ^1H , ЯМР-релаксация, передача ядерной поляризации, электропроводность и термограммы АВФ с различной степенью гидратации.

Образцы АВФ выдерживали в атмосфере с фиксированной влажностью над растворами серной кислоты в течение двух месяцев до полной стабилизации степени гидратации. Величину последней определяли методом дифференциального-термического анализа (ДТА) с помощью дериватографа Q1500D МОМ со скоростью нагрева образца $10\text{ K}/\text{мин}$. Проводимость образцов определяли с платиновыми электродами методом электрохимического импеданса в диапазоне частот от 0.1 до 100 кГц . Импеданс измеряли мостом Р 568. ЯМР-исследования проводили на импульсном радиоспектрометре РИ 2303 с рабочей частотой 56.7 МГц . Время спин-решеточной релакса-

ции T_1 измеряли методом «инверсии—восстановления» [3]. Спектры ЯМР ^1H получали путем Фурье-преобразования либо сигнала ССИ (при комнатной температуре), либо сигнала спинового эха (при низких температурах). Исследования процессов протонного обмена проводили, используя импульсную последовательность $(\pi/2)_x - t_0 - (\pi/2)_{-x} - \tau - (\pi/2)_x$ [2] с параметрами $t_0 = 20$ мкс, $\tau = 0 \div 20$ мс. Во всех ЯМР-измерениях использовали порошкообразные образцы, запаянные в стеклянные ампулы.

На рис. 1 показаны температурные зависимости проводимости поликристаллических образцов АВФ при различных степенях гидратации n . Легко видеть, что σ практически не зависит от n при $n \geq 7$ и резко уменьшается при $n=5$. Зависимость $\sigma(T)$ хорошо описывается уравнением

$$\sigma T = A \exp(-E_a/kT) \quad (1)$$

с энергией активации $E_a \approx 0.2$ эВ.

Характер температурной зависимости времени спин-решеточной релак-

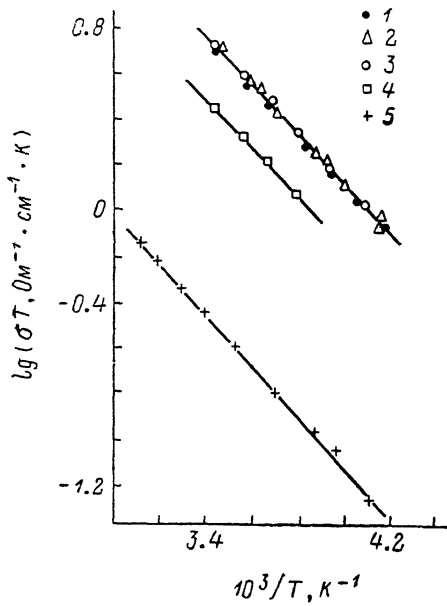


Рис. 1. Температурная зависимость проводимости образцов АВФ с различной степенью гидратации n .

HR, n : 1 — 84, 12; 2 — 57, 12; 3 — 36, 10, 4 — 16, 7; 5 — 5, 5. HR — относительная влажность (%).

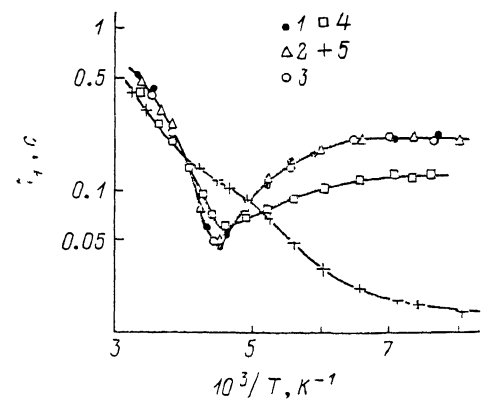


Рис. 2. Температурная зависимость времени спин-решеточной релаксации T_1 для образцов АВФ с $n=15$ (1), 12 (2), 10 (3), 7 (4), 5 (5).

ксации T_1 для АВФ в отличие от других вольфрамофосфатов [4] также качественно меняется только при уменьшении степени гидратации до $n=5$ (рис. 2). При этом на зависимости $T_1(T)$ четко проявляется влияние на ЯМР-релаксацию подвижности NH_4 -групп. Для $n \geq 7$ этот процесс также влияет на ход температурной зависимости времен ЯМР-релаксации в области минимума, связанного с подвижностью протонов проводимости [4], что не позволяет достоверно оценить активационные параметры последней по данным ЯМР. Тем не менее из приведенных результатов видно, что подвижность протонов в АВФ мало зависит от n при $n \geq 7$ и что при $n=5$ структура протонной системы резко меняется. Это подтверждается и данными ДТА: в образцах с $n \geq 7$ кривые дегидратации имеют один экзотермический максимум при 130 °C, тогда как при $n=5$ этот максимум размыается, но появляется второй максимум при 190 °C.

Изменение структуры протонной системы при $n=5$ особенно наглядно проявляется в спектрах ЯМР ^1H (рис. 3). При $T=300$ К спектры АВФ с $n \geq 7$ содержат одну узкую линию, положение которой практически совпадает с положением линии эталона — чистой воды. При $n=5$ спектр состоит из трех линий с химсдвигами δ (м. д.): -1.4 (Л1), $+1.0$ (Л2) и $+3.5$ (Л3). Для сравнения был получен спектр соединения $\text{H}_3\text{PW}_{12}\text{O}_{40} \cdot 22\text{H}_2\text{O}$, принадлежащего к тому же классу, что и АВФ, но не содержащего ионы аммония. Спектр представляет собой одиночную

узкую линию с химсдвигом $\delta = -1.4$ м. д., что совпадает с δ ($L1$). Этот факт, а также сопоставление разности химсдвигов линий $L3$ и $L1$: $\delta_3 - \delta_1 = -4.9$ м. д. (линия $L3$ смещена в сторону слабого поля) с известными значениями относительных протонных химсдвигов в гидратах, содержащих ионы NH_4^+ [5], позволяют связать линии $L1$ и $L3$ соответственно с протонами молекул воды и ионов аммония.

Присутствие в спектрах АВФ

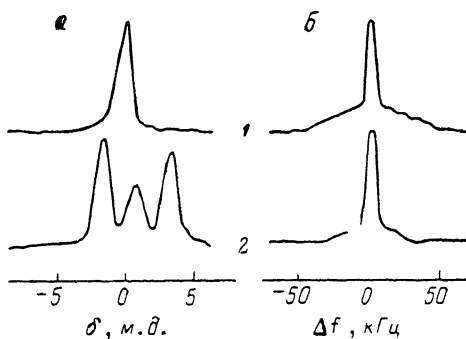


Рис. 3. Спектры ЯМР ^1H образцов АВФ с $n=15$ (1) и 5 (2) при $T=300$ (а) и 130 К (б).

с $n \geq 7$ единственной линии можно объяснить существованием быстрого (со скоростью, большей ν_0 ($\delta_3 - \delta_1 \approx 300$ Гц) обмена протонов H_2O и NH_4^+ . Относительное содержание этих протонов, рассчитанное для образца с $n=15$, исходя из предположения о быстром обмене и положения линии

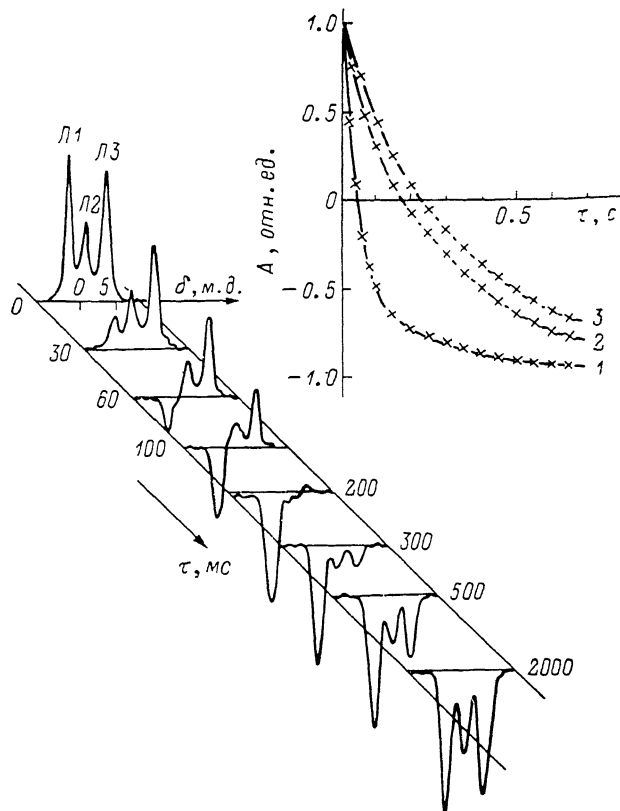


Рис. 4. Изменение спектра ЯМР ^1H образца АВФ с $n=5$ (300 К) и интенсивности линий $L1$ (1), $L2$ (2) и $L3$ (3) в зависимости от времени восстановления ядерной намагниченности после инверсии τ .

ЯМР-спектра относительно линий $L1$ и $L3$, равно $3.5 : 1.4 = 2.5$, что совпадает со стехиометрическим. При понижении степени гидратации наблюдается тенденция смещения одиночной линии в сторону линии $L3$. Спектр образца АФВ с $n=5$ указывает на то, что часть протонов обеих подсистем в обмене не участвует. Насколько можно судить по отношению площадей линий $L1$, $L2$ и $L3$ ($1.65 : 1 : 1.73$), эта часть составляет $\sim 75\%$ общего

числа протонов. Указанное соотношение позволяет представить протонную систему АВФ при $n=5$ в виде $(\text{NH}_4)_{2.2}(\text{NH}_4\text{H}_2\text{O})_{0.8}(\text{H}_2\text{O})_{4.2}$. Отсутствие обмена между указанными группами следует и из того, что линии L_1 , L_2 и L_3 имеют различные времена спин-решеточной релаксации (70, 300 и 360 мс соответственно) (рис. 4), в то время как единственная линия, наблюдавшаяся в спектрах ЯМР при $n \geq 7$, релаксирует экспоненциально с одним временем T_1 .

Степень гидратации n ; стехиометрическое отношение числа гидратных и аммониевых протонов N_r/N_a ; отношение площадей широкой и узкой линий ЯМР ^1H спектра S_w/S_y ; второй момент спектра при 130 К (M_2); глубина передачи поляризации $r = h(0)/h(\infty)$; рассчитанное из (4) отношение числа подвижных N_1 и фиксированных N_2 протонов, дающих вклад в передачу поляризации в образцах гидратов вольфрамофосфата аммония

n	N_r/N_a	S_w/S_y	$M_2, \text{Э}^2$	r	N_1/N_2	N_1
15	2.5	2.6	18.4	2	1	12
12	2.0	2.0	17.6	1.68	1.47	8
10	1.67	1.58	15.6	1.66	1.50	8
5	0.83	0.71	7.9	1.22	4.55	2-3

Спектры ЯМР ^1H АВФ при $T=130$ К (рис. 3) для всех n содержат широкую и узкую линии, которые можно связать с H_2O и NH_4^+ , так как отношение площадей этих линий соответствует относительному содержанию протонов воды и аммония (см. таблицу). Величина второго момента спектров M_2 , измеренная при 130 К, для всех n существенно меньше значений M_2 , рассчитанных с учетом относительного содержания протонов и величины M_2 для изолированных (внутримолекулярный вклад) неподвижных NH_4^+ и H_2O — 44.5 и 27 Э² соответственно [6, 7]. Это указывает на усреднение внутримолекулярного ДДВ в NH_4^+ за счет быстрого изотропного вращения, а также на увеличение межпротонного расстояния в H_2O в структуре АВФ, что отмечалось ранее в [8]. Остаточная ширина узкой линии спектра связана с межмолекулярным ДДВ протонов NH_4^+ и H_2O .

Сигнал ССИ при 130 К содержит две компоненты с существенно различными временами спин-спиновой релаксации $T_2 \sim 10$ и 100 мкс (им соответствуют широкая и узкая линии ЯМР-спектра), что позволяет применить метод ПП для исследования процессов протонного обмена. Прежде всего отметим, что ПП наблюдается во всех изученных образцах АВФ при температурах ниже 190 К. Выше этой температуры T_2 короткой и длинной компонент сравнимы по величине и метод ПП не применим. Уменьшение амплитуды длинной компоненты ССИ (в результате ПП) во времени для всех образцов и при всех температурах хорошо описывается функцией

$$R(t) = \frac{h(t) - h(\infty)}{h(0) - h(\infty)} = \exp(-t/\tau_{\text{пп}}), \quad (2)$$

где $h(0)$, $h(t)$, $h(\infty)$ — амплитуда длинной компоненты ССИ после третьего РЧ импульса в последовательности Гольдмана—Шена, приложенного соответственно в моменты $t=0$, t и $5T_2(\infty)$ ($\tau \ll T_1$). Постоянная времени передачи поляризации $\tau_{\text{пп}}$ практически не зависит от n при $n \geq 7$ (рис. 5) и почти в три раза превышает $\tau_{\text{пп}}$ для образца АВФ с $n=5$. Начиная с $T=150$ К, $\tau_{\text{пп}}$ уменьшается с ростом температуры.

Согласно [2], величина $\tau_{\text{пп}}$ для системы, содержащей подвижные и фиксированные спины, определяется как

$$\tau_{\text{пп}}^{-1} = (\alpha\tau_1 + \tau_2^{-1})(1 + N_1/N_2), \quad (3)$$

где τ_1 — среднее время прыжка атомов в подсистеме подвижных спинов; τ_2 — среднее время прыжка атома из этой подсистемы в подсистему фиксированных спинов; N_1 , N_2 — число спинов указанных подсистем. Отношение

ние N_1/N_2 связано с глубиной передачи поляризации $r=h(0)/h(\infty)$

$$\frac{N_1}{N_2} = \frac{h(\infty)}{h(0) - h(\infty)} = \frac{1}{r-1}. \quad (4)$$

Член $\alpha\tau_1$ учитывает вклад диполь-дипольного взаимодействия спинов двух подсистем (спиновой диффузии) в скорость передачи поляризации, а τ_2^{-1} — атомного обмена (физической диффузии). Поскольку и τ_1 , и τ_2 уменьшаются с ростом температуры, уменьшение $\tau_{\text{пп}}$ с ростом температуры свидетельствует о том, что процесс ПП определяется в основном τ_2 , т. е. диффузией протонов из подсистемы NH_4^+ в подсистему H_2O . Энергия активации этого процесса, определенная по зависимости $\tau_{\text{пп}}(T)$, равна ~ 0.17 эВ, что достаточно близко к значению E_g и свидетельствует о важ-

ности такого обмена в проводимости. Поскольку трудно предположить, что τ_2 различно для образцов с $n \geq 7$ и $n=5$, уменьшение $\tau_{\text{пп}}$ в АВФ при уменьшении n может быть связано только с уменьшением N_1/N_2 .

Анализ кривых ПП позволяет определить r и, таким образом, получить

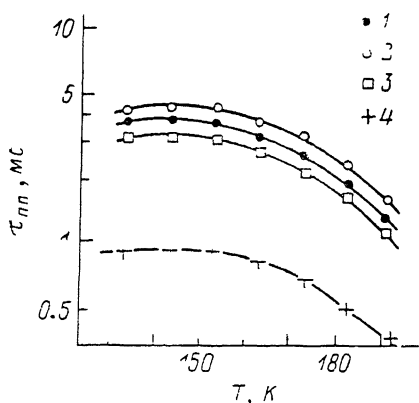


Рис. 5. Температурная зависимость постоянной времени передачи поляризации для АВФ с $n=15$ (1), 12 (2), 10 (3), 5 (4).

независимую оценку величины N_1/N_2 : при уменьшении степени гидратации от $n=15$ до $n=5$ N_1/N_2 увеличивается в 4.5 раза (см. таблицу), что соответствует уменьшению $\tau_{\text{пп}}$ в 2.8 раза и согласуется с результатами непосредственного измерения $\tau_{\text{пп}}$. Так как измеряемая в эксперименте по передаче поляризации амплитуда длинной компоненты ССИ включает вклад в намагниченность от всех подвижных NH_4^+ -протонов, изменение N_1/N_2 означает, что меняется доля гидратных протонов, участвующих в ПП, т. е. находящихся в непосредственном контакте с NH_4^+ . Из таблицы видно, что при переходе к малым степеням гидратации N_2 меняется от 12—8 до ~ 2 , т. е. при $n=5$ из трех ионов NH_4^+ (в структурной единице) лишь один имеет гидратное «окружение». Этот вывод совпадает с результатами анализа спектра ЯМР ^1H образца АВФ с $n=5$.

Таким образом, наличие в гидратах АВФ, обладающего высокой подвижностью иона аммония, способствует протонному обмену, компенсируя образование дефектов в сетке водородных связей при снижении степени гидратации, обеспечивая высокую проводимость и ее слабую зависимость от влажности окружающей среды. При $n=5$ протонная система распадается на пространственно-изолированные части, что препятствует быстрому переносу протонов и приводит к резкому снижению электропроводности гидратов АВФ.

Список литературы

- [1] Коростелева А. И., Леонова Л. С., Укше Е. А. // Электрохимия. 1987. Т. 23. № 10. С. 1349—1353.
- [2] Goldman M., Shen L. // Phys. Rev. B: Condens. Matter. 1966. V. 144. N 1. P. 321.
- [3] Вашман А. А., Пронин И. С. Ядерная магнитная релаксационная спектроскопия. М.: Энергоатомиздат, 1986. 230 с.
- [4] Ерофеев Л. Н. и др. // ДАН СССР. 1986. Т. 286. № 5. С. 1162—1166.
- [5] Balasabramanyan D. R., Bhat S. V. // Sol. St. Ionics, 1987. V. 23. N 4. P. 267—270.
- [6] Hirokawa K., Furukawa Y. // Z. Naturforsch. 1987. V. 42A. N 12. P. 1410—1414.
- [7] Pfeiffer H. // Phys. Reports. 1976. V. 26. N 7. P. 293—338.
- [8] Ерофеев Л. Н., Сосиков А. И. и др. // ДАН СССР. 1987. Т. 295. № 2. С. 401—405.